

## I-17 厚岸大橋地盤における観測された強震記録の特性について

苦高 専正員 ○中辺 隆  
北 大一芳村 仁  
北海学園大々早川 寛志

1. まえがき 厚岸大橋近傍地盤において観測された強震記録は、地表及び地中を合わせて 80 波形（整理済）を越している。筆者らはこれまでの報告において、地表あるいは地中でのフーリエスペクトル、応答スペクトル増幅特性などの基礎的な解析を行ない、当該地盤で観測された強震記録の特性を明らかにしてきた。本研究ではさらにその強震記録中に含まれている表面波成分とその当該軟弱地盤中ににおける挙動について報告したい。

強震記録に含まれる表面波成分については、それらが比較的長周期であるので加速度重としては小さく、あるいは表面波成分に見合う固有周期を有する構造物が少なからずために工学的にはこれまであまり考慮されていないが、たゞしがしながら、近年の高層ビルあるいは高橋脚をもつ構梁の出現に伴ってその重要性が認識されるようになつており、また、実際の強震記録においても、震源が浅く震央距離の十分大きい地震波の主要動は表面波成分によると指摘されている。<sup>(6)</sup> さうに、多層地盤内における実体波と表面波との挙動の差異は、原子力発電所あるいは沈埋管等の設計に無視出来ない影響をもつと言われている。

本研究においては、表面波成分のうち Love 波について以下の検討を行はる。

(1) 強震記録に含まれる表面波成分の抽出

(2) 当該地盤ににおける表面波の分散特性

(3) 鉛直下方から入射する SH 波（以後 SH 波と略）と Love 波との当該地盤ににおける挙動の差異

## 2. 解析理論

2.1 RES<sup>(3)</sup> (Response Envelope Spectrum) 固有振動数の、減衰定数の 1 自由度系質点に  $\alpha(t)$  の地動加速度が作用した時の質点の応答は、次の微分方程式の解として得る事が出来る。

$$\ddot{x} + 2\omega g \dot{x} + \omega^2 x = -\alpha(t) \quad (1)$$

$x(t)$  の包絡曲線が 变位RES ( $A(t, p)$ ) と呼ばれているものであるが、(1)の微分方程式は一種の狭帯域フィルターとして作用するので、 $\alpha(t)$  に含まれる周波数成分のうち  $\omega = p$  なる成分波が到達した時に大きな応答を示す。即ち、 $\omega$  の値をいろいろ変化させることにより、 $\alpha(t)$  に含まれている各周波数成分の到達時刻の変化（分散性）を知る事が出来る。なお、ここでは  $g=0.05$  として計算を行はる。

2.2 多重反射理論 図-1 に示す互いに平行な多層地盤を考え、変位成分としては  $Z-X$  面に垂直なみのみとする。

SH 波 变位  $v$  は  $Z$ -方向にのみ伝播するので、その運動方程式は

$$\frac{\partial^2 v_m}{\partial t^2} = G_m \frac{\partial^2 v_m}{\partial Z^2} \quad (2)$$

となる。ここで添字  $m$  は第  $m$  層地盤を表わし、 $\rho, G$  は密度およびせん断弾性係数である。この解  $v_m$  とそれより求まるせん断応力  $\tau_{yz,m}$  ( $T_m$  と略) は、

$$v_m(Z) = [A_m e^{-i\omega_m Z} + B_m e^{i\omega_m Z}] e^{i\omega_m t} \quad (3)$$

$$T_m(Z) = i\omega_m G_m [A_m e^{-i\omega_m Z} - B_m e^{i\omega_m Z}] e^{i\omega_m t} \quad (4)$$

$$\text{但し, } V_m^2 = \rho_m T_m^2 / G_m = (P/B_m)^2 \quad (5)$$

と表わす事が出来る。 $B_m$  は第  $m$  層内の S 波の伝播速度である。

相隣り合う地盤層の変位 およびせん断応力の連続条件を用いて

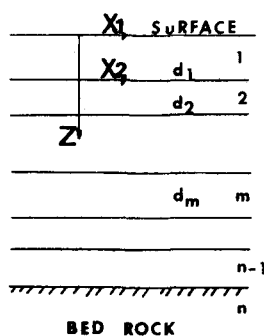


図-1 多層地盤

$$\begin{Bmatrix} V_m \\ T_m \end{Bmatrix} = \begin{Bmatrix} \cos(\omega_m d_m) & \sin(\omega_m d_m) / (\omega_m G_m) \\ -\omega_m G_m \sin(\omega_m d_m) & \cos(\omega_m d_m) \end{Bmatrix} \begin{Bmatrix} V_{m+1} \\ T_{m+1} \end{Bmatrix} \quad (6)$$

する関係が導かれる。ここで、 $V_m$ ,  $T_m$  は第  $m$  層で  $Z=d_m$  (各層最下端) における値を示す。さらに地表面における境界条件は  $T_0=0$  であるので、(6)式を順次用いて、各層の  $V_m$ ,  $T_m$  を語のみで表わす事が出来る。

**Love波** 波の進行方向を又の正方向とするとき、その運動方程式とその解は次のようになる。

$$S_m \frac{\partial^2 V_m}{\partial t^2} = G_m \left[ \frac{\partial^2 V_m}{\partial x^2} + \frac{\partial^2 V_m}{\partial z^2} \right] \quad (7)$$

$$V_m(z) = [A'_m e^{-i k' \beta_m z} + B'_m e^{i k' \beta_m z}] e^{i(c(t-kz))} \quad (8)$$

$$T_m(z) = -i k' \beta_m G_m [A'_m e^{-i k' \beta_m z} - B'_m e^{i k' \beta_m z}] e^{i(c(t-kz))} \quad (9)$$

$$\text{但し, } \beta_m = \begin{cases} [(C/\beta_m)^2 - 1]^{\frac{1}{2}} & (C > \beta_m) \\ -i(1 - (C/\beta_m)^2)^{\frac{1}{2}} & (C < \beta_m) \end{cases} \quad C = \frac{P}{E} \quad (10)$$

Love波の場合には、SH波(鉛直波)の時には生じない  $T_{xy}$  が生じる。

$$T_{xy,m}(z) = -i k' \beta_m G_m [A'_m e^{-i k' \beta_m z} + B'_m e^{i k' \beta_m z}] e^{i(c(t-kz))} \quad (11)$$

SH波同様、隣接する地盤層の連続条件により 式(6)と似た関係式が成立するが、ここで<sup>1</sup>は Haskellに従い

$$\begin{Bmatrix} V_m/c \\ T_m \end{Bmatrix} = \begin{Bmatrix} \cos(k' \beta_m d_m) & i \sin(k' \beta_m d_m) / (k' \beta_m G_m) \\ i k' \beta_m G_m \sin(k' \beta_m d_m) & \cos(k' \beta_m d_m) \end{Bmatrix} \begin{Bmatrix} V_{m+1}/c \\ T_{m+1} \end{Bmatrix} = Q_m \begin{Bmatrix} V_{m+1}/c \\ T_{m+1} \end{Bmatrix} \quad (12)$$

と表わし、変位成分を無次元化する。但し<sup>2</sup>・<sup>3</sup>は <sup>4</sup>を意味する。

**特性方程式** (12)式を順次用いると、基盤上において

$$\begin{Bmatrix} V_{m+1}/c \\ T_{m+1} \end{Bmatrix} = Q_{m+1} \cdot Q_{m+2} \cdots \cdots Q_1 \begin{Bmatrix} V_0/c \\ T_0 \end{Bmatrix} = \begin{Bmatrix} L_{11}, L_{12} \\ L_{21}, L_{22} \end{Bmatrix} \begin{Bmatrix} V_0/c \\ T_0 \end{Bmatrix} \quad (13)$$

となる。第  $m$  層基盤中においては、表面波の性質から  $Z \rightarrow \infty$  の時  $V_0/c \rightarrow 0$ ,  $T_0 \rightarrow 0$  となるので Love波は次の方程式(特性方程式)を満足しなければならぬ。

$$L_{21} + \beta_m G_m L_{11} = 0 \quad (14)$$

即ち、ある周波数成分やに対して、(14)式を満足する  $\beta_m$  の値を定める事が出来るので、SH波と同じように、 $V_0/c$ ,  $T_0$ あるいは  $T_{xy,m}$  の値を  $V_0/c$  を用いて表わす事が出来る。

**群速度** 多層地盤中を伝わる Love波は分散性を有する。その群速度<sup>4</sup>はエネルギー積分法を用いて

$$U = \frac{\partial P}{\partial E} = \frac{I_2}{CI_1} \quad (15)$$

$$I_1 = \sum_{m=1}^n \int_0^{d_m} S_m V_m(z)^2 dz, \quad I_2 = \sum_{m=1}^n \int_0^{d_m} G_m V_m(z)^2 dz \quad (16)$$

$$\text{但し } V_m(z) = V_m(z) e^{i(c(t-kz))} \quad (17)$$

**3. 解析結果** 表-1は解析に使用した強震記録の地震諸元である。Aの地震は昭和48年6月の根室半島沖地震の本震であるが、図-2に見られる様に、橋軸に対しほぼ真横位置にその震央がある。Bの地震の震央はおおよそ前方45°の方向である。地震の強さとしては ともにマグニチュードがアを越える大地震である。

震央距離はそれ 90km, 190km と大きく、地震波が分散性をもつて十分であると思われるが、Aの地震の方が震源深さが小さくまた震央の位置も解析に都合が良いので 表面波成分の分析には Aの記録を用いた。

なお、Aでは 地表のみで、Bではさらに地中3地点 (-25m, -47m, -68m) で波形が記録されてゐる。

強震計が設置されてい3地盤の柱状図を図-3に、また

記号	年月日	地震名	M	震央距離	震源深さ
A	48. 6. 17	根室半島沖	7.4	90 km	40 km
B	53. 12. 6	エトロフ沖	7.7	190	100

表-1 解析に用いた強震記録の地震諸元

計算に用いた土質定数を表-2に示した。

**3.1 表面波成分の抽出** 図-4は上から順に (1)地盤A の橋軸方向成分のフーリエスペクトル, (2)SH波の多重反射理論から計算される, 支持基盤に対する地表面の増幅度スペクトル, (3)

Love波の分散曲線であ

る。なお、フーリエス  
ペクトル図においては、  
図を見やすくするために  
ハニシングフルタ  
ーを用いて平滑化を行な  
っている。

フーリエスペクトル  
では、おおよそ 1.0 Hz,  
1.8 Hz そして 3.2 Hz 付近  
で卓越性が見られる。  
これらの卓越周波数は  
増幅度スペクトルにおいても増幅度を極大にし、  
Love波の分散曲線に  
おいてもそれを基本モード ( $L_0$ )、1次 ( $L_1$ )、2次 ( $L_2$ ) エードに対応しており、群  
速度が極小となる固波  
数である。

これは、当該地盤で  
は、SH波および Love  
波とともにほぼ同じ  
固波数で卓越し得る事  
を意味している。

なお、増幅度スペク  
トルが極大とする、あ  
るいは群速度が極小と  
する固波数は実測され  
たフーリエスペクトル  
の値と 0.1 Hz 程度差異  
を生じているが、これ  
は計算に用いた土質定  
数の精度に問題がある  
ためと思われる。

各固波数成分の到達

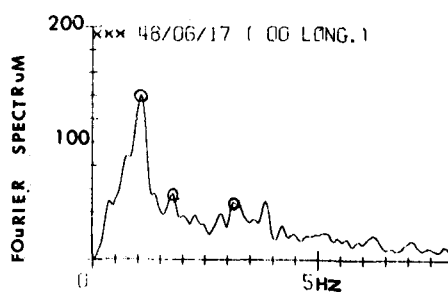


図-4 (1) フーリエスペクトル



図-2 震央分布

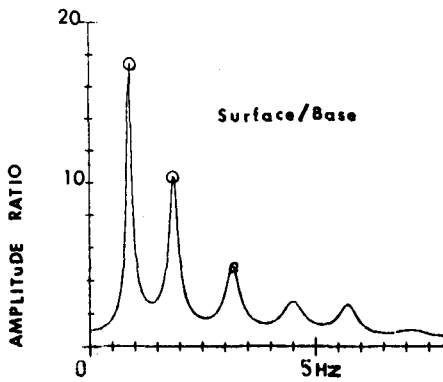


図-4 (2) 増幅度スペクトル

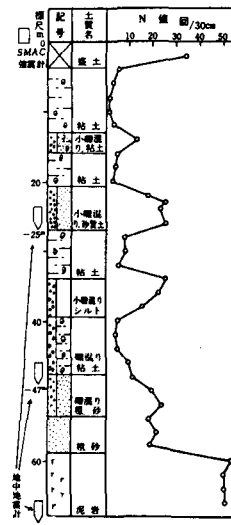


図-3 地質柱状図

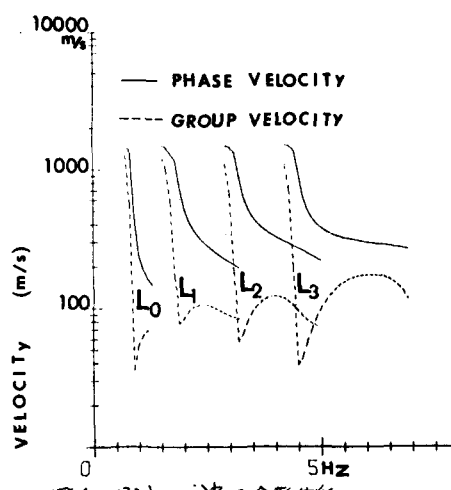


図-4 (3) Love波の分散曲線

NO	$d_m$ (m)	$\beta_m$ ( $m^2/s$ )	$\rho_m$ ( $g/cm^3$ )
1	3.0	140.0	1.8
2	10.0	65.0	1.8
3	3.0	155.0	1.8
4	5.0	105.0	1.8
5	4.0	275.0	1.8
6	2.0	290.0	1.8
7	7.0	215.0	1.8
8	5.0	340.0	1.8
9	8.0	255.0	1.8
10	12.0	360.0	1.8
11	9.0	1500.0	2.6
12	∞	1500.0	2.6

表-2 地盤の土質定数

時刻の経時変化を見るために、地震Aの加速度RESを図-5に示した。ここでは、縦軸に時刻を、横軸に周期T=2%をとり、RESの大きさを0~4の整数値で表示している。また図を見やすくするために四捨五入により捨り上げる場合には空白表示としている。

図-5において、およそ1sec(1Hz)を中心にして斜め綫方向の枝線を見る事が出来る。横軸(周期)が、図4-(3)のそれ(周波数)とは逆数関係となり、しているので直接比較する事は出来ないが、図5のこの枝線は図4-(3)に示した分散曲線の基本モードにはほぼ対応しているものと考えられる。高次のモードについては明確な対応を見い出す事は出来ない。

図-6(a)は、地震AについてL<sub>z</sub>成分だけを取り出し地中-3m地点におけるT<sub>xy</sub>(Love波のみに生じる)の変動を示したものである。この図は、約0.9~1.0secの周期成分(1.0~1.1Hzの周波数成分)が波群となるで伝播されている事を示している。観測開始時刻が不明であるのでこの図から群速度の大きさを求める事は出来ないが、波群の周期が約0.9secであるからここに含まれている周波数成分の範囲は約 $\Delta f = 0.06$ Hzと推定する事が出来る。

以上の結果から、Aの地震波の1Hz付近には、奥深波としての成分だけでなく、Love波としての成分も含まれていると判断する事が出来る。

### 3.2 当該地盤におけるSH波とLove波の挙動の比較

Love波の分散曲線において、群速度(点線)が極小となる0.9Hzあるいは1.9Hzの周波数成分に対する挙動の変動が大きくなると予想される。図-6の(1)~(4)の各図は、この2つの周波数成分に対する地盤の挙動を、その周

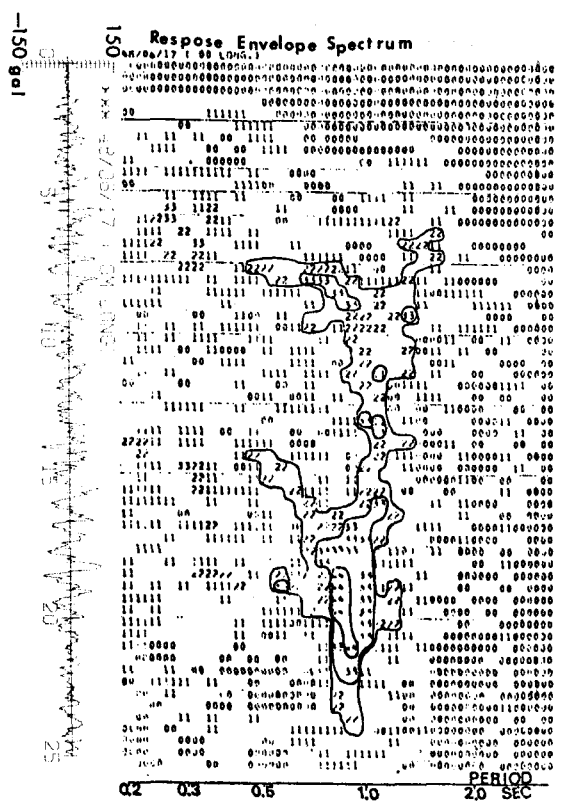


図-5 加速度RES(昭和48年6月17日橋軸方向)

らここに含まれている周波数成分の範囲は約 $\Delta f = 0.06$ Hzと推定する事が出来る。

以上の結果から、Aの地震波の1Hz付近には、奥深波としての成分だけでなく、Love波としての成分も含まれていると判断する事が出来る。

### 3.2 当該地盤におけるSH波とLove波の挙動の比較

Love波の分散曲線において、群速度(点線)が極小となる0.9Hzあるいは1.9Hzの周波数成分に対する挙動の変動が大きくなると予想される。図-6の(1)~(4)の各図は、この2つの周波数成分に対する地盤の挙動を、その周

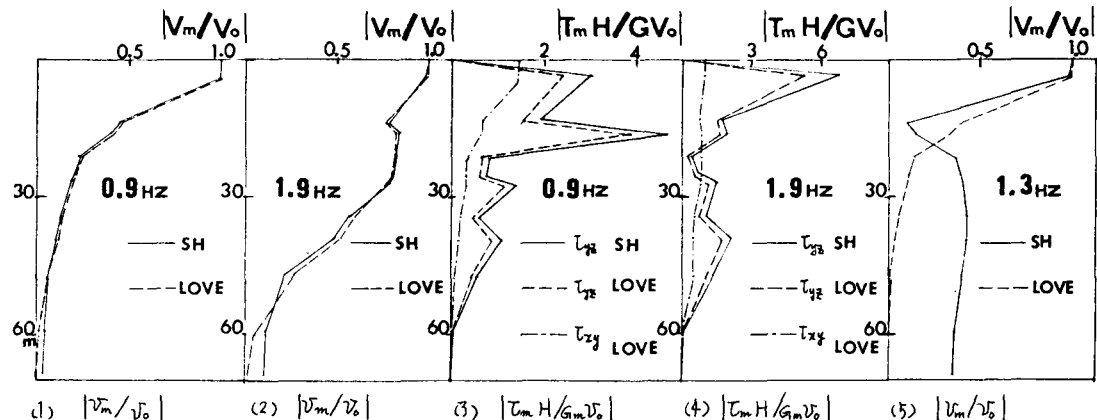


図-6 当該地盤におけるSH波とLove波の挙動の比較(複数) (注)  $H = \sum_{n=1}^{N-1} d_m$

波数成分が SH 波あるいは Love 波として伝播する  
と仮定した場合について比較したものである。

(1)(2)は地盤の各深さ位置における変位比を地表変位比との比で示したものであり、(3)(4)は  $T_{xy}$ ,  $T_{yz}$  (実際には  $\tau_{xy} H/G_m$  の形に無次元化) の深さ方向の分布を示したものである。

(1)(2)の図から、SH 波(鉛直方向入射)と Love 波とはその変位においてほとんど差異がない事がわかる。これは以下の様に考える事が出来る。例えば 0.9 Hz に対する位相速度は 450 m/s であるが、この位相速度に対しては基盤層を除いて  $B_m < C$  であるから 0.9 Hz 成分の波は地盤内を SH 波(鉛直方向と  $8^\circ \sim 53^\circ$  の傾きをもつ)として伝播し、純粹に Love 波として挙動するのは基盤層のみである。

位相速度 C が小さい(147 m/s) 1.3 Hz 成分波に対する変位分布を(5)に示した。この位相速度では多くの地盤層が Love 波としての性質をもつが、1.3 Hz 成分は当該地盤においては卓越しないため、地盤の変動に対する影響は小さいものと思われる。

実際の観測された地震波 A (図-7-(1))について  
上に述べた事を証明したのが図-7 の(2)～(4)である。  
(2)(3)は全周波数成分のうち L<sub>0</sub> 成分(0.7～1.3 Hz と仮定)だけを取り出しそれらが(2)“SH 波”, (3) Love 波であるとして地中 -3 m 地点での変位の経時変化を示したものである。両者の差異は(最大 - 最小)で約 2% である。これは、L<sub>0</sub> 成分中に含まれる Love 波成分の地盤変位に与える影響が小さい事を意味している。(4)の図は 全周波数成分が“SH 波”であるとした場合と、L<sub>0</sub>, L<sub>1</sub> 成分(1.6～3.2 Hz と仮定)だけが Love 波であるとした場合の変位波形を同一図面上に重ね書きしたものであるが、図上からは両者の間に差異を認めることは出来ない。

応力分布についても 図-6 の(3)(4)が 5 变位同様の傾向を知る事が出来るが、変位に比し“SH 波”と“Love 波”的差異は大きい。図-7 の(5)(6)は 地中 -3 m 地点における  $T_{xy}$  の経時変化を(4)同様の条件で比較したものである。全周波数成分が“SH 波”(鉛直方向入射)とした(5)の方が、Love 波の L<sub>0</sub>, L<sub>1</sub> 成分を導入した場合に比し(最大 - 最小)で約 20% 過大な値となる。図-7 の(7)は、Love 波を仮定して

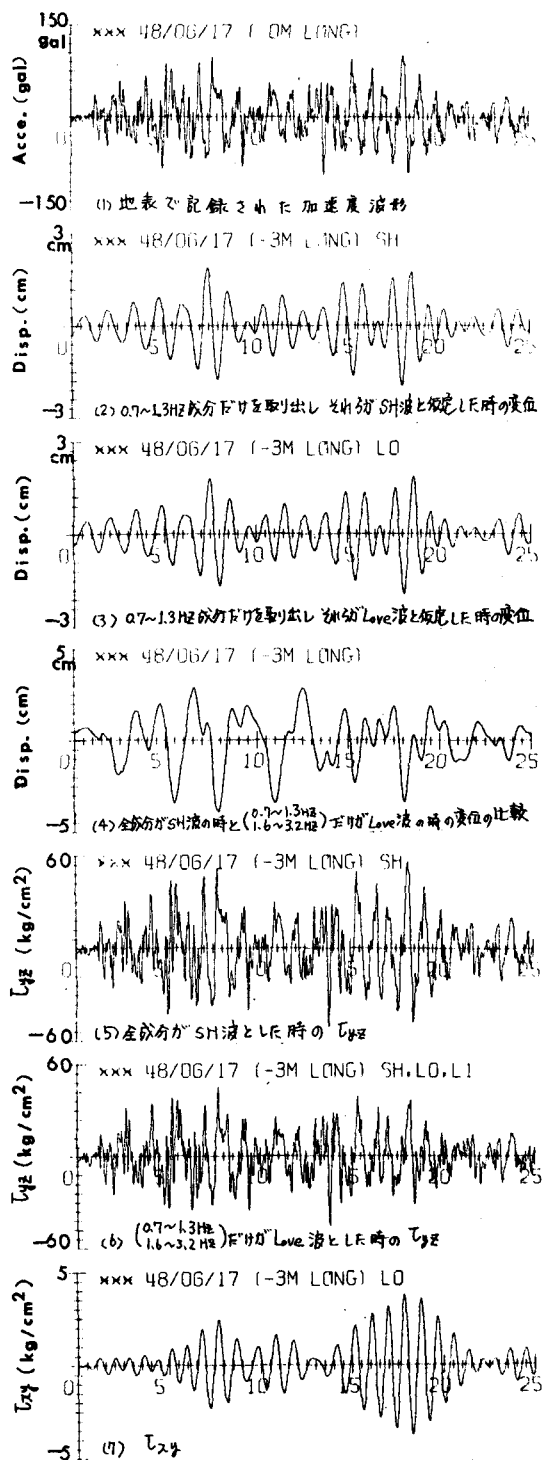


図-7 SH 波と Love 波の挙動の比較(実測)

事により生じたTay波形であるが、地盤構造上その大きさはTypeに比べ小さい。しかしながら、表面波成分が波群を構成しているのを見ることは出来る。

上記の結果から、当該地盤での応答の等動は、鉛直方向に伝播するSH波であると仮定しても誤差は小さいと判断されるが、これを地中においても地表と同時に記録を得た地震波について実測値との比較を行なつたのが図8の(1)～(4)である。即ち、地表で観測された(1)の波形(震央と直結する線分と垂直な方向の成分波)を入力としてSH波の理論を用いて地中-25, -47, -68地点の変位波形を計算すると同時に各地震で観測された強震記録からも変位波形を求めそれらを比較したものである。

各深さ位置において必ずしも合致しているとは言えないが全体的な波形の動きは比較的良く合っていると言える。

#### 4. 結論

以上の解析の結果、厚岸大橋地盤で観測された地震波について以下の事が明らかになった。  
(1) 実体波と表面波を明確に分離する事は出来ないが、地震Aの橋軸方向成分にはその1Hz付近にLove波としての成分も含まれている。

(2) 変位波形よりもLove波だけに注ぐTay波形に表面波としての特徴があらわれている。

(3) 当該地盤においては、群速度が極小となる周波数成分は、基盤を除き実体波として伝播するのでLove波成分による影響は小さい。特に変位については、鉛直方向に伝播するSH波としても誤差は小さい。

(4)せん断応力Typeについては、"SH波"と"Love波"とのちがいは比較的大きく、解析例では約20%の差がある。

(5)本文中に述べた事は出来なかつたが、表面波成分は主にその基本モードによって支配されている。この震位の方が応力よりもその傾向が強い。

#### 参考文献

- (1) Haskell; The Dispersion of Surface Waves on Multilayered Media, Bull. Seism. Soc. Amer., Vol.43, 1953
- (2) Gazetas et al; Shear and Rayleigh Waves in Soil Dynamics, ASCE, Vol.105, GT12, DEC. 1979
- (3) Trifunac; Response Envelope Spectrum and Interpretation of Strong Earthquake Ground Motion, Bull. Seis. Soc. Amer., Vol.61, No.2 Apr. 1971
- (4) 神山; 地震時における地盤内の応力、ひずみの評価、土木学会論文報告集、第250号、1976. 6
- (5) 佐藤; 弾性波動論、岩波書店、1978
- (6) Schnabel et al; SHAKE, Col. Eng. Univ. Calif. Berkeley, No. EERC 72-12, DEC. 1972
- (7) 中込、芳村、早川; 土木学会講演概要集(1980), 土木学会北海道支部論文報告集 Vol.34~36
- (8) 島: 地震記録を見られる表面波成分、第3回地震工学シンポジウム論文集 1970

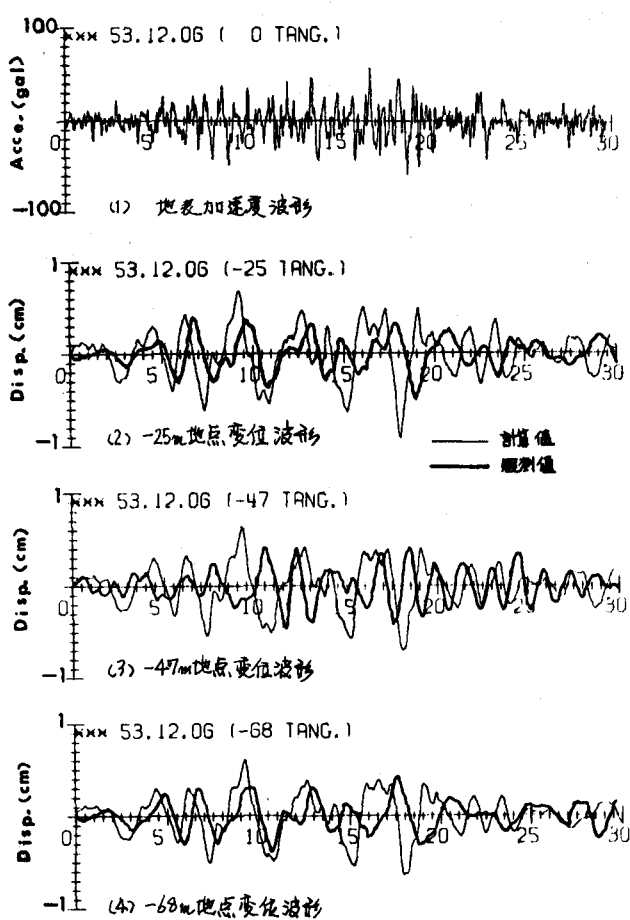


図7 SH波理論による計算値と観測値との比較

(昭和53年12月06日)